

Э. О. Чухаджян*, А. С. Габриелян, Эл. О. Чухаджян, К. Г. Шахатуни,
Г. А. Паносян^a

ПРЕВРАЩЕНИЯ БРОМИДОВ ДИАЛКИЛ(4-ГИДРОКСИ-2-БУТИНИЛ)-
(3-ФЕНИЛАЛЛИЛ)АММОНИЯ В ВОДНОМ РАСТВОРЕ КОН
ИЛИ В ПРИСУТСТВИИ ПОРОШКА КОН

Бромиды диалкил(4-гидрокси-2-бутинил)(3-фенилаллил)аммония под действием двукратного мольного количества КОН при нагревании в водном растворе, а также в условиях перегруппировки Стивенса (с использованием порошка КОН и небольшого количества метанола) образуют диалкил[4-(1-фенилаллил)-2,5-дигидро-2-фурил]амины. В этих же условиях имеет место также реакция перегруппировки-расщепления.

Ключевые слова: бромиды диалкил(4-гидрокси-2-бутинил)(3-фенилаллил)аммония, диалкил[4-(1-фенилаллил)-2,5-дигидро-2-фурил]амины, перегруппировка-расщепление, перегруппировка Стивенса.

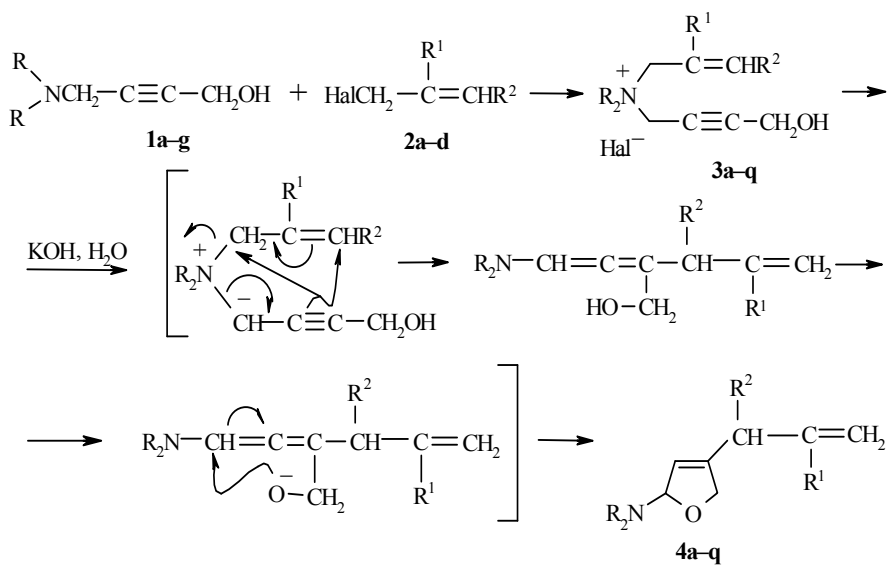
Ранее нами было установлено, что полученные алкилированием диалкил(4-гидрокси-2-бутинил)аминов **1a–f** бромистым аллилом (**2a**) или хлористым металлилом (**2b**) соли **3a–j** в водно-щелочной среде подвергаются перегруппировка Стивенса и внутримолекулярному О-алкилированию с образованием соответствующих производных фурана **4a–j** [1, 2] (схема 1).

На примере солей диалкил(4-гидрокси-2-бутинил)(кротил)аммония **3k,l** (продуктов алкилирования аминов **1c,d** бромистым кротилом **2c**) было чётко показано, что перегруппировка Стивенса протекает с переносом реакционного центра как в принимающей, так и в мигрирующей группе [2]. Отметим, что такая её разновидность впервые обнаружена нами.

С целью установления общего характера указанной реакции в настоящей работе нами изучено поведение бромидов диалкил(4-гидрокси-2-бутинил)(3-фенилаллил)аммония **3m–p** и (4-гидрокси-2-бутинил)(3-фенилаллил)морфолиния (**3q**) в водном растворе КОН, а также в присутствии порошка КОН с добавлением небольшого количества метанола. Соли **3m–q** синтезированы впервые алкилированием 3-фенилаллилбромидом (**2d**) аминов **1g,a–e** (соответственно соли **3m–p**) или амина **1d** (соль **3q**). Их характеристики приведены в табл. 1.

Показано, что соли **3m–q** под действием двукратного мольного количества КОН (42% водный раствор) при 90–92 °С в течение 2 ч подобно солям **3a–l** подвергаются перегруппировке Стивенса с переносом реакционного центра как в принимающей, так и в мигрирующей группе

Схема 1

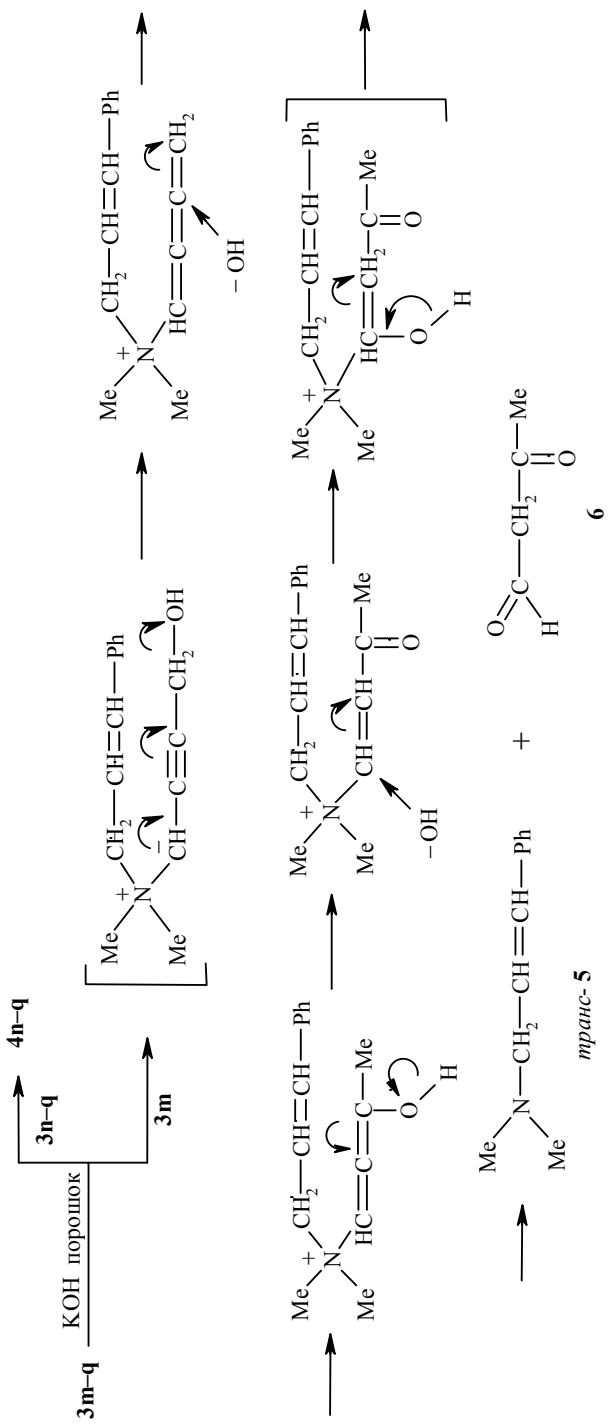


1 a R = Et, **b** R = Pr, **c** R = Bu, **d** R + R = $(\text{CH}_2)_2\text{O}(\text{CH}_2)_2$, **e** R + R = $(\text{CH}_2)_4$,
f R + R = $(\text{CH}_2)_5$, **g** R = Me; **2 a** R¹ = R² = H, Hal = Br, **b** R¹ = Me, R² = H, Hal = Cl,
c R¹ = H, R² = Me, Hal = Br, **d** R¹ = H, R² = Ph, Hal = Br; **3,4 a-d** R¹ = R² = H, Hal = Br,
a R = Et, **b** R = Pr, **c** R = Bu, **d** R + R = $(\text{CH}_2)_2\text{O}(\text{CH}_2)_2$; **e-j** R¹ = Me, R² = H, Hal = Cl, **e** R = Et,
f R = Pr, **g** R = Bu, **h** R + R = $(\text{CH}_2)_2\text{O}(\text{CH}_2)_2$, **i** R + R = $(\text{CH}_2)_4$, **j** R + R = $(\text{CH}_2)_5$; **k,l** R¹ = H,
R² = Me, Hal = Br, **k** R = Bu, **l** R + R = $(\text{CH}_2)_2\text{O}(\text{CH}_2)_2$; **m-q** R¹ = H, R² = Ph, Hal = Br,
m R = Me, **n** R = Et, **o** R = Pr, **p** R = Bu, **q** R + R = $(\text{CH}_2)_2\text{O}(\text{CH}_2)_2$

с последующей внутримолекулярной циклизацией (см. схему 1). В результате каждый раз образуется смесь двух диастереоизомерных аминов **4m–q** с общим выходом 24–39% (табл. 2). Соотношение стереоизомеров **4m–q**, по данным спектров ЯМР ^1H , составляет 3:2.

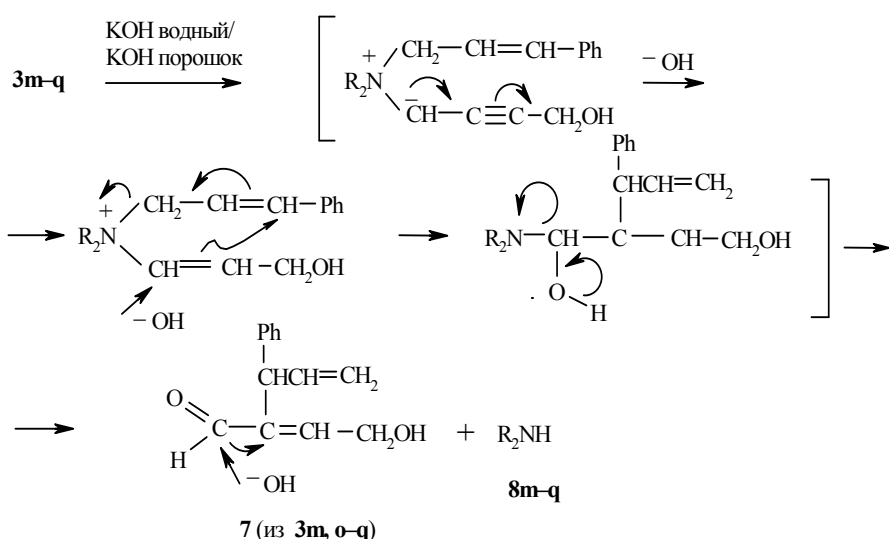
Соли **3n-q** подвергаются аналогичным превращениям и в условиях перегруппировки Стивенса, т. е. под действием двукратного мольного количества порошкообразного KOH в присутствии нескольких капель метилового спирта, и при этом образуются те же продукты **4n-q** (выходы 21–51%) (схема 2). В случае соли **3m** имеет место нуклеофильное замещение, приводящее к единственному продукту – *транс*-диметил-(3-фенилаллил)амину (**5**) с выходом 37%. Образование амина **5**, вероятно, происходит согласно схеме 2. Его строение подтверждают данные ИК спектра, в котором имеются полосы поглощения в областях 1630 (двузамещённая сопряжённая двойная связь), 1580, 1600, 3030 (ароматическое кольцо), 700, 720, 730 cm^{-1} (монозамещённое бензольное кольцо), а также спектров ЯМР ^1H (табл. 3) и ^{13}C (табл. 4). В спектре ЯМР ^1H форма сигналов протонов при двойной связи (д. т) и единственная достаточно большая КССВ (15.9 Гц) указывают на то, что соединение **5** имеет *транс*-конфигурацию. В качестве неаминного продукта из 3.1 г (10 ммоль) соли **3m** было получено 0.15 г соединения, предположительно формилацетона (**6**): оно даёт реакцию серебряного зеркала, имеет в ИК спектре полосы поглощения в областях 1690, 1700, 3060 (CHO) и 1690, 1700 cm^{-1} (C=O).

Схема 2



Следует отметить, что как в водном растворе KOH, так и в условиях перегруппировки Стивенса наряду с перегруппировкой-циклизацией имеет место также реакция перегруппировки-расщепления, приводящая (в случае солей **3m–q**) к образованию с выходом 5–12% соединения, предположительно 4-гидрокси-2-(3-фенилаллил)бут-2-еналя (**7**), и 4–10% соответствующего исходной соли **3m–q** вторичного амина **8m–q** (см. схему 3).

Схема 3



Альдегид **7** даёт реакцию серебряного зеркала и при вакуумной перегонке разлагается. В его ИК спектре имеются полосы поглощения в областях 840, 910, 970, 980, 1640, 3070, 3090 (монозамещённая двойная связь), 1630 (двузамещённая сопряжённая двойная связь), 1690 (сопряжённая C=O), 2720 (альдегидный водород), 1000, 1030, 1070, 1100, 3200–3500 (группа OH), 700, 720, 730 (монозамещённое бензольное кольцо) и 1600, 3010 см⁻¹ (арomaticское кольцо). В случае соли **3n** соответствующий неаминный продукт не обнаружен.

Вторичные амины **8m–q** идентифицированы в виде пикратов, т. пл. которых совпадает с т. пл. заведомого образца [1].

Состав и строение солей **3m–q** (табл. 1) и продуктов **4m–q**, **5** (табл. 2) подтверждены результатами элементного анализа и данными ИК спектров, а аминов **4m–q**, **5** – также данными спектров ЯМР ¹H (табл. 3) и ¹³C (табл. 4). В ИК спектрах солей **3m–q** имеются полосы поглощения в областях 2230–2240 (двузамещённая ацетиленовая связь), 1020–1060, 1100, 3200–3500 (группа OH), 1610, 1630 (двузамещённая сопряжённая двойная связь), 690, 720, 740, 1930 (монозамещённое бензольное кольцо), 1580, 1600, 3010, 3040 см⁻¹ (арomaticское кольцо). В ИК спектрах смеси диастереоизомерных аминов **4m–q** наблюдаются полосы поглощения в областях 810, 840, 890, 900, 910, 990, 1630, 3070, 3100 (монозамещённая двойная связь), 680, 690, 700, 720, 740 (монозамещённое бензольное кольцо) 1600, 3030, 3040 (арomaticское кольцо), 1660–1670 (двузамещённая двойная

Таблица 1

Характеристики солей 3m–q

Соединение	Брутто-формула	<u>Найдено, %</u> <u>Вычислено, %</u>		Т. пл., °C	Выход, %
		Br	N		
3m	C ₁₅ H ₂₀ BrNO	<u>25.65</u>	<u>4.54</u>	97–98	98
		25.80	4.29		
3n	C ₁₇ H ₂₄ BrNO	<u>23.94</u>	<u>3.89</u>	94–95	97
		23.67	4.14		
3o	C ₁₉ H ₂₈ BrNO	<u>21.49</u>	<u>4.07</u>	113–114	98
		21.86	3.82		
3p	C ₂₁ H ₃₂ BrNO	<u>20.53</u>	<u>3.35</u>	100–102	95
		20.30	3.55		
3q	C ₁₇ H ₂₂ BrNO ₂	<u>22.38</u>	<u>4.23</u>	139–141	96
		22.73	3.98		

связь) и 1030, 1070 см⁻¹ (C—O—C в цикле). В пользу циклической структуры аминов **4m–q** свидетельствует отсутствие в спектрах ЯМР ¹H сигнала группы OH и наличие в спектрах ЯМР ¹³C соединений **4m–o**, **5** двух сигналов группы CH. Так, сигнал в области ~100 м. д. отождествлён с асимметрическим атомом углерода группы OCHN. Наличие второго асимметрического центра в боковой цепи обуславливает образование смеси двух диастереоизомеров. Более детальное обсуждение структурных и спектральных характеристик соединений этого ряда с применением также двумерной спектроскопии NOE приведено в работе [1].

Характеристики аминов 4m–q и 5

Соединение	Брутто-формула	<u>Найдено, %</u> <u>Вычислено, %</u>			Т. кип., °C (1–2 мм рт. ст.)	<i>n</i> _D ²⁰	Выход, %
		C	H	N			
4m	C ₁₅ H ₁₉ NO	<u>78.21</u>	<u>8.15</u>	<u>6.36</u>	109–111	1.5347	24*
		78.60	8.29	6.11			
4n	C ₁₇ H ₂₃ NO	<u>79.73</u>	<u>9.18</u>	<u>5.19</u>	125–126	1.522	<u>39*</u>
		79.37	8.95	5.44			<u>40**</u>
4o	C ₁₉ H ₂₇ NO	<u>79.59</u>	<u>9.31</u>	<u>5.11</u>	137–139	1.5143	<u>34*</u>
		80.0	9.47	4.91			<u>51**</u>
4p	C ₂₁ H ₃₁ NO	<u>80.06</u>	<u>9.74</u>	<u>4.72</u>	148–150	1.5101	<u>32*</u>
		80.51	9.90	4.47			<u>26**</u>
4q	C ₁₇ H ₂₁ NO ₂	<u>75.64</u>	<u>8.02</u>	<u>5.01</u>	140–143	1.5375	<u>35*</u>
		75.27	7.75	5.17			<u>21**</u>
5	C ₁₁ H ₁₅ N	<u>81.57</u>	<u>9.55</u>	<u>8.89</u>	100–102***	1.5380	37**
		81.98	9.32	8.69			

* Выход в условиях водно-щелочного расщепления.

** Выход в условиях перегруппировки Стивенса.

*** Т. пл. пикрата 110–112 °C (EtOH).

Таблица 3

Спектры ЯМР ^1H аминов 4m–q и 5

Соединение	Химические сдвиги, δ , м. д. (J , Гц)
4m	2.19 и 2.24 (3.6Н, с и 2.4Н, с, $\text{N}(\text{CH}_3)_2$); 3.95 и 4.03 (0.6Н, д, $^3J = 7.5$ и 0.4Н, д, $^3J = 7.4$, PhCH); 4.32–4.52 (2Н, м, OCH_2); 4.86 и 5.09 (0.6Н, д. т, $^3J = 17.0$, $^2J = 1.5$ и 0.4Н, д. т, $^3J = 17.0$, $=\text{CH}_2$); 4.91 и 5.28 (0.6Н, т. д, $^3J = 4.1$, $^4J = 1.5$ и 0.4Н, м, OCH); 5.03 и 5.13 (0.6Н, д. т, $^3J = 10.1$, $^2J = 1.5$ и 0.4Н, д. т, $^3J = 10.1$, $^2J = 1.5$, $=\text{CH}_2$); 5.35 и 5.90 (0.4Н, м и 0.6Н, м, $\text{OCHCH}=$); 6.00 и 6.10 (0.4Н, д. д. д, $^3J = 17.0$, $^3J = 10.1$, $^3J = 7.4$ и 0.6Н, д. д. д, $^3J = 17.0$, $^3J = 10.1$, $^3J = 7.4$, $\text{CH}=\text{CH}_2$); 7.09–7.28 (5Н, м, C_6H_5)
4n	0.92 и 1.02 (3.6Н, т, $^3J = 7.1$ и 2.4Н, т, $^3J = 7.1$, $(\text{CH}_3)_2$); 2.55 и 2.60 (2.4Н, к, $^3J = 7.1$ и 1.6Н, к, $^3J = 7.1$, $\text{N}(\text{CH}_2)_2$); 3.93 и 4.02 (0.6Н, д, $^3J = 7.4$ и 0.4Н, д, $^3J = 7.4$, PhCH); 4.35–4.52 (2Н, м, OCH_2); 4.86 (0.6Н, д. т, $^3J = 17.0$, $^2J = 1.5$, $=\text{CH}_2$); 5.01–5.14 (2Н, м, $=\text{CH}_2$ и OCH); 5.35 и 5.86 (0.4Н, м и 0.6Н, м, $\text{OCHCH}=$); 5.47 (0.4Н, т. д, $^3J = 4.1$, $^4J = 1.6$, OCH); 5.99 и 6.11 (0.4Н, д. д. д, $^3J = 17.0$, $^3J = 10.1$, $^3J = 7.4$ и 0.6Н, д. д. д, $^3J = 17.0$, $^3J = 10.1$, $^3J = 7.4$, $\text{CH}=\text{CH}_2$); 7.08–7.28 (5Н, м, C_6H_5)
4o	0.83 и 0.89 (3.6Н, т, $^3J = 7.4$ и 2.4Н, т, $^3J = 7.4$, $(\text{CH}_3)_2$); 1.35 и 1.50 (2.4Н, м и 1.6Н, м, $(\text{CH}_2\text{CH}_3)_2$); 2.42 и 2.45 (2.4Н, м и 1.6Н, м, $\text{N}(\text{CH}_2)_2$); 3.99 и 4.05 (0.6Н, д, $^3J = 7.5$ и 0.4Н, д, $^3J = 7.5$, PhCH); 4.35–4.55 (2Н, м, OCH_2); 4.86 (0.6Н, д. т, $^3J = 17.0$, $^2J = 1.5$, $=\text{CH}_2$); 5.00–5.16 (2Н, м, $=\text{CH}_2$ и OCH); 5.37 и 5.91 (0.4Н, м и 0.6Н, м, $\text{OCHCH}=$); 5.48 (0.4Н, т. д, $^3J = 4.1$, $^4J = 1.6$, OCH); 6.00 и 6.13 (0.4Н, д. д. д, $^3J = 17.0$, $^3J = 10.1$, $^3J = 7.5$ и 0.6Н, д. д. д, $^3J = 17.0$, $^3J = 10.1$, $^3J = 7.5$, $\text{CH}=\text{CH}_2$); 7.09–7.39 (5Н, м, C_6H_5)
4p	0.86 и 0.92 (3.6Н, т, $^3J = 7.0$ и 2.4Н, т, $^3J = 7.0$, $(\text{CH}_3)_2$); 1.15–1.50 (8Н, м, $(\text{CH}_2\text{CH}_2)_2$); 2.45 и 2.50 (2.4Н, т, $^3J = 6.9$ и 1.6Н, т, $^3J = 6.9$, $\text{N}(\text{CH}_2)_2$; 3.96 и 4.02 (0.6Н, д, $^3J = 7.4$ и 0.4Н, д, $^3J = 7.6$, PhCH); 4.35–4.54 (2Н, м, OCH_2); 4.86 (0.6Н, д. т, $^3J = 17.0$, $^2J = 1.5$, $=\text{CH}_2$); 5.00–5.15 (2Н, м, $=\text{CH}_2$ и OCH); 5.37 и 5.90 (0.4Н, м и 0.6Н, м, $\text{OCHCH}=$); 5.46 (0.4Н, т. д, $^3J = 4.1$, $^4J = 1.5$, OCH); 6.00 и 6.11 (0.4Н, д. д. д, $^3J = 17.0$, $^3J = 10.1$, $^3J = 7.6$ и 0.6Н, д. д. д, $^3J = 17.0$, $^3J = 10.1$, $^3J = 7.4$, $\text{CH}=\text{CH}_2$); 7.09–7.28 (5Н, м, C_6H_5)
4q	2.38–2.52 и 2.57–2.67 (2.4Н, м и 1.6Н, м, $\text{N}(\text{CH}_2)_2$); 3.50–3.60 (4Н, м, $\text{O}(\text{CH}_2)_2$); 3.99 и 4.08 (0.6Н, д, $^3J = 7.4$ и 0.4Н, д, $^3J = 7.4$, PhCH); 4.37–4.57 (2Н, м, OCH_2); 4.90 (0.6Н, т. д, $^3J = 4.2$, $^4J = 1.5$, OCH); 4.91 (0.6Н, д. т, $^3J = 17.0$, $^2J = 1.5$, $=\text{CH}_2$); 5.05–5.17 (1.8Н, м, $=\text{CH}_2$ и OCH); 5.54 и 5.98 (0.4Н, м и 0.6Н, м, $\text{OCHCH}=$); 6.09 и 6.17 (0.4Н, д. д. д, $^3J = 16.9$, $^3J = 10.1$, $^3J = 7.4$ и 0.6Н, д. д. д, $^3J = 16.9$, $^3J = 10.1$, $^3J = 7.4$, $\text{CH}=\text{CH}_2$); 7.14–7.30 (5Н, м, C_6H_5)
5	2.20 (6Н, с, $\text{N}(\text{CH}_3)_2$); 3.01 (2Н, д. д, $^3J = 6.5$, $^4J = 1.3$, CH_2); 6.19 (1Н, д. т, $^3J = 15.9$, $^3J = 6.5$, $=\text{CHCH}_2$); 6.46 (1Н, д. т, $^3J = 15.9$, $^4J = 1.3$, $=\text{CHPh}$); 7.14–7.34 (5Н, м, C_6H_5)

ЭКСПЕРИМЕНТАЛЬНАЯ ЧАСТЬ

ИК спектры сняты на спектрометре UR-20 для плёнок в хлороформе (соли 3m–q) или в тонком слое (остальные продукты). Спектры ЯМР ^1H и ^{13}C получены на спектрометре Varian Mercury 300 VX (300 и 75 МГц соответственно) при температуре 300 К в $\text{DMCO-d}_6\text{--CCl}_4$, 1:3, внутренний стандарт – остаточные сигналы недейтерированного растворителя. Для отнесения сигналов в спектрах ЯМР ^1H и ^{13}C использованы методы DEPT и HMQC.

Известные исходные диалкил(4-гидроксибутин-2-ил)амины **1a–f** получены как описано ранее [3]. Т. пл. их пикратов совпадают с т. пл. заведомых образцов.

Таблица 4

Спектры ЯМР ^{13}C аминов 4m–o и 5

Соединение	Химические сдвиги, δ , м. д.
4m	38.2 и 38.3 (CH_3); 46.9 и 47.0 (PhCH); 73.3 и 73.4 (OCH_2); 100.9 и 101.1 (OCH); 114.7 и 115.3 (= CH_2); 124.1, 125.7 (OCHCH=); 125.8 и 125.9 (С четв.); 127.6, 127.7, 127.8 и 127.8 (С Ph); 137.5 и 139.4 (CH=CH_2); 139.8 и 140.9 (С четв.)
4n	13.2 и 13.3 (CH_3); 41.0 и 41.2 (NCH_2); 47.2 и 47.4 (PhCH); 72.4 и 72.5 (OCH_2); 99.2 и 99.4 (OCH); 114.6 и 115.1 (= CH_2); 123.5 и 125.5 (OCHCH=); 125.8 и 125.9 (С четв.); 127.6, 127.6 и 127.7 (С Ph); 137.6 и 139.3 (CH=CH_2); 139.9 и 141.5 (С четв.)
4o	11.4 и 11.5 (CH_3); 20.9 и 21.0 (CH_3CH_2); 47.1 и 47.3 (PhCH); 49.7 и 49.8 (NCH_2); 72.4 и 72.5 (OCH_2); 99.2 и 99.5 (OCH); 114.6 и 115.3 (= CH_2); 123.8 и 125.5 (NCCCH); 125.8 и 125.9 (С четв.); 127.6, 127.6 и 127.7 (С Ph); 137.6 и 139.4 (CH=CH_2); 139.9 и 141.5 (С четв.)
5	44.6 (CH_3); 61.3 (NCH_2); 125.6 и 127.8 (<i>o</i> -, <i>m</i> -C Ph); 126.6 (<i>p</i> -C Ph); 127.1 (= CH); 131.4 (= CH); 136.4 (<i>ipso</i> -C Ph)

(4-Гидрокси-2-бутинил)диметиламин (1g). Смесь 28 г (500 ммоль) пропаргилового спирта, 15 г (500 ммоль) параформа, 24 г (530 ммоль) диметиламина, 0.1 г хлорного железа и 0.1 г CuCl в 150 мл диоксана выдерживают 60 ч при 90–95 °C. К реакционной массе при встряхивании добавляют 15% водный раствор HCl до кислой реакции, отгоняют диоксан, остаток подщелачивают, экстрагируют эфиром, экстракт высушивают MgSO_4 и упаривают [3]. Из остатка вакуумной перегонкой выделяют 15 г продукта **1g**. Выход 25%. Т. кип. 80–85 °C (2 мм рт. ст.), $n_D^{20} = 1.4705$, т. пл. пикрата 78–79 °C (EtOH). ИК спектр, ν , см $^{-1}$: 1030, 1090, 3100–3400 (OH), 2230 (дизамещённая связь C≡C). Спектр ЯМР ^1H , δ , м. д. (J, Гц): 2.21 (6H, с, CH_3); 3.18 (2H, т, $J = 1.9$, NCH_2); 4.07 (2H, т, $J = 1.9$, OCH_2); 4.54 (1H, уш. с, OH). Найдено, %: C 63.32; H 9.96; N 12.23. $\text{C}_6\text{H}_{11}\text{NO}$. Вычислено, %: C 63.71; H 9.73; N 12.38.

Бромиды dialkyl(4-гидрокси-2-бутинил)(3-фенилаллил)аммония 3m–q (общая методика). К раствору 20 ммоль амина **1a–d,g** в 20 мл абсолютного эфира и 7 мл ацетонитрила прибавляют 30 ммоль 3-фенилаллилбромида (**2d**). Реакционную смесь выдерживают при 70–75 °C в течение 3–4 ч, далее после её охлаждения отфильтровывают соль **3m–q**, которую промывают абсолютным эфиром (3×15 мл).

Превращения солей 3m–q в водном растворе KOH (общая методика). К раствору 15 ммоль соли **3m–q** в 4 мл воды прибавляют 30 ммоль KOH и смесь выдерживают 2 ч при 90–92 °C. Остывшую реакционную массу экстрагируют эфиром (3×35 мл). Суммарный эфирный экстракт, встряхивая с водой, титруют 0.1 н. H_2SO_4 . Результаты титрования показывают наличие в экстракте 49–55% амина (в расчёте на соль **3**). После титрования эфирный экстракт подкисляют, встряхивая его с 15% раствором HCl до кислой реакции. Эфирный слой, содержащий неаминные продукты, отделяют, высушивают CaCl_2 и после отгонки эфира в случае солей **3m,o–q** получают 0.25–0.35 г соединения с предполагаемой структурой **7**, которое даёт реакцию серебряного зеркала и при перегонке разлагается. Солянокислый слой отделяют от эфирного, подщелачивают и экстрагируют эфиром, экстракт высушивают MgSO_4 и упаривают. Из остатка вакуумной перегонкой выделяют амин **4m–q**. Из водного слоя после экстракции амина **4** отгоняют воду. В отогнанной воде и эфирной вытяжке из нёё титрованием определяют суммарное количество (4–10%) соответствующего

вторичного амина **8m–q**, пикрат которого получают прибавлением раствора никриновой кислоты к отогнанной воде. Температуры плавления полученных во всех случаях пикратов совпадают с приведёнными в литературе [1].

Превращения солей **3m–q в присутствии порошка КОН (в условиях перегруппировки Стивенса)** (общая методика). К тщательно перемешанной смеси 10 ммоль соли **3m–q** (порошок) и 20 ммоль КОН (порошок) прибавляют несколько капель метилового спирта. Смесь разогревается и после самопроизвольного охлаждения её выдерживают 1 ч при комнатной температуре, а затем экстрагируют эфиром (2×30 мл). Суммарный эфирный экстракт, встряхивая с водой, титруют 0.1 н. H_2SO_4 . Результаты титрования показывают наличие в экстракте 44–53% амина (в расчёте на соль **3**). В случае солей **3n–q** в результате описанной выше обработки эфирного экстракта выделяют соответствующие амины **4** и **8**, а также 0.15–0.25 г соединения с предполагаемой структурой **7**. В случае соли **3m** из эфирного слоя, содержащего неаминные продукты, выделяют 0.15 г предположительно формилацетона (**6**), а из соляно-кислого слоя после подщелачивания, экстракции эфиром, упаривания экстракта и перегонки получают 0.6 г (37%) амина **5**.

СПИСОК ЛИТЕРАТУРЫ

1. Э. О. Чухаджян, А. С. Габриелян, А. Р. Геворкян, Г. А. Паносян, Т. Д. Карапетян, *XГС*, 354 (2009). [*Chem. Heterocycl. Comp.*, **45**, 284 (2009)].
2. Э. О. Чухаджян, А. С. Габриелян, Эл. О. Чухаджян, К. Г. Шахатуни, Г. А. Паносян, *XГС*, 1622 (2009). [*Chem. Heterocycl. Comp.*, **45**, 1302 (2009)].
3. Э. О. Чухаджян, А. Р. Геворкян, Эл. О. Чухаджян, К. Г. Шахатуни, *ЖОрХ*, **36**, 1304 (2000).

Институт органической химии
Научно-технологического центра
органической и фармацевтической химии
НАН Республики Армения,
ул. Закария Канакерцы, 167A,
Ереван 0014, Республика Армения
e-mail: g.amali@mail.ru

Поступило 20.01.2010
После доработки 28.08.2010

^aЦентр исследования строения молекул
НАН Республики Армения,
пр. Азатутян, 26, Ереван 0014,
Республика Армения
e-mail: henry@msrc.am